



کاوش‌زنومی نشانه‌های انتخاب در گاوها بومی نژاد سرابی و تالشی ایران

سید مakan موسوی کاشانی^۱, قدرت رحیمی میانجی^۲ و حسین مرادی شهربابک^۳

۱- دانشجوی دکتری و استاد، گروه علوم دامی، دانشگاه علوم کشاورزی و منابع طبیعی ساری

۲- استادیار، دانشگاه تهران، دانشکده کشاورزی و منابع طبیعی، (نویسنده مسؤول) (hmoradis@ut.ac.ir)

۳- تاریخ پذیرش: ۹۵/۱۰/۲۸ تاریخ دریافت: ۹۶/۲/۱۷

چکیده

هدف این مطالعه پیدا کردن نشانه‌های انتخاب در گاوها بومی سرابی و تالشی بود، تعداد ۲۹۶ راس گاو از دو نژاد سرابی و تالشی نمونه برداری و تعیین ژنوتیپ با ریزایه k⁴ شرکت ایلومینا انجام شد. تعداد ۴۳ دام بدلیل عدم کسب شاخص نرخ حیوانات ژنوتیپ شده (ACR) برابر با ۰/۹ حذف شدند. تعداد نشانگرها بعد از گرداندن فیلتر حداقل فراوانی آللی (MAF) برابر با ۱/۰/۰ و تعادل هاردی وایبرگ (Hardy-Weinberg) به ۲۸۷۸۲ نشانگر رسید. جهت بررسی ساختار ژنتیکی جمعیت‌ها و خرده ساختار جمعیتی از آنالیز مؤلفه‌های اصلی (PCA) استفاده شد. برای شناسایی نشانه‌های انتخاب در جمعیت خالص سرابی و تالشی شناسایی شده با PCA آماره تنا محاسبه شد. جهت کاهش اریب مقادیر تنا مطالعه بیشتر جایگاه‌هایی شناسایی شده با Haplovview بدست آمد که کروموزوم‌های ۲، ۲۷، ۲۵، ۲۲، ۲۱، ۱۰، ۷، ۶، ۵، ۴، ۳، ۲ شناخته شده باشد. برای جستجوی نشانه‌های انتخاب در هر دو جمعیت از آماره هموزیگوستی توسعه داده شده (EHH) و میزان شکستگی LD برای آلل اجدادی و جهش یافته برای هر کروموزوم از نرم‌افزار R استفاده شد بررسی شد. برای مطالعه بیشتر جایگاه‌هایی که نشانه‌های انتخاب را نشان دادند و بسایت‌های بیوانفورماتیکی مورد جستجو قرار گرفت. در کروموزوم ۲ زن EIF4G3 شناسایی شد. این ژن در انتقال RNA از هسته به سیتوپلاسم نقش اساسی در بیان ژن دارد. در کروموزوم ۶ زن ANK2 شناسایی شد که پلی پیتید آنکرین B را رمز می‌کند و در تمام بافت‌ها بیان می‌شوند. در کروموزوم ۷ زن ARHGAP26 شناسایی که به عنوان ژن سرکوب گر تومور گزارش شده است. در کروموزوم ۱۰ زن کدکننده پروتئین SYNJ2BP شناسایی شد که متوقف کننده سیگنالینگ اکتیوین می‌باشد. در کروموزوم ۲۲ زن کدکننده پروتئین FAM3D که در مسیر بیوشیمیابی تنظیم سیتو اسکلتون اکتین فعالیت دارد شناسایی شد. این ژن بیشتر در جفت بیان شده و بر عملکردهای بیولوژیکی مانند مهاجرت و عملکرد لکوستیت، تنظیم درجه حرارت، بقای سلول و تمایز خون‌سازی نقش دارد.

واژه‌های کلیدی: آنالیز مؤلفه‌های اصلی، آماره هموزیگوستی، هاپلوتاپ توسعه یافته

بهدلیل وقوع نوترکیبی در اطراف این جایگاه، عدم تعادل لینکازی (LD) بوجود آمده در اطراف این جایگاه به تدریج شکسته و از وجود آمدن یک هاپلوتاپ ویژه در جمعیت ممانعت به عمل می‌آید. آلل‌های متداولی که بدین طریق در سطح ژنوم ایجاد شده‌اند و قابل تشخیص هستند عموماً قیمتی بوده و عدم تعادل لینکازی بوجود آمده در اطراف این آلل دامنه کوتاهی دارد (۳۳). سطوح بالای جمعیت می‌تواند بیانگر وقوع انتخاب مثبت روی یک آلل مفید در یک یا چندین جمعیت باشد. در مقابل، سطوح پایین تر نشان دهنده وجود انتخاب متعادل کننده است که منجر به حفظ نسبت خاصی از آلل‌ها در تمام جمعیت می‌شود. در صورتی که جهش بوجود آمده در سطح ژنوم باعث افزایش شایستگی افراد در جامعه شود، انتخاب طبیعی باعث می‌شود تا افرادی که در ای شایستگی بیشتری هستند، در تشکیل نسل بعد مشارکت بیشتری داشته باشند. (۳). به دنبال افزایش فراوانی آلل‌های مفید، فراوانی آلل‌های موجود در جایگاه‌های خنثی یا نسبتاً خنثی که به این جایگاه‌ها متصل هستند، نیز افزایش می‌یابد. به این پدیده انتقال همراه می‌گویند. به کاهش یا حذف نوع در جایگاه‌های مجاور یک جهش (آلل جهش یافته) سودمند در طی انتخاب طبیعی، جاروب انتخاب گفته می‌شود. علاوه بر این، در پدیده انتقال همراه، عدم تعادل لینکازی می‌تواند در اثر اپیستازی ناشی از ترکیب دو یا چند جایگاه مجاور هم ایجاد شود. بزرگی عدم تعادل لینکازی بستگی به شدت انتخاب و فاصله نسلی گونه مورد مطالعه دارد،

مقدمه

آگاهی از منشا نژاد و تاریخچه تکامل جهت پیش‌بینی ترکیب ژنی حمل شده توسط هر نژاد ممکن است در آینده برای توصیف صفات مختلف مثل مقاومت به بیماری، استرس و آدأپتیه شدن به محیط‌های مختلف مهم باشد (۲). طی فرآیند اهلی شدن دامها در اثر عوامل ژنتیکی مختلف مانند انتخاب مصنوعی، رانش ژنتیکی، جهش و به‌خاطر تغییرات ایجاد شده بر اثر این عوامل و به‌علت استفاده تعداد کمی از نژادها برای تولید بالاتر باعث کاهش تنوع ژنتیکی دام‌های اهلی شده که باعث بروز نگرانی جهانی شده است (۱۶). به‌نظر می‌رسد بهترین راه برای محافظت از نژادهای بومی به‌منظور حفظ تنوع ژنتیکی، نگهداری جیوان در محل زندگی خود است چراکه هزینه محافظت از ذخایر ژنتیکی بالا بوده و امکان حفظ همه ذخایر ژنتیکی در آزمایشگاه‌ها و موسسات تحقیقاتی ممکن نیست (۲۶). مطالعه ژن‌های مؤثر بر صفات به دو صورت قابل بررسی هستند یکی از طریق مطالعه فنوتیپ که به ژنوتیپ و ژن مربوطه منتهی می‌شود و دوم روشی که از ژنوم به فنوتیپ می‌رسد. طبق تئوری خنثی، بخش عمده‌ای از تنوع ژنتیکی موجود در درون گونه‌ها بوسیله رانش تصادفی آلل‌های چند شکل که از نظر انتخابی خنثی هستند به وجود می‌آید. انتخاب خنثی به انتخابی گفته می‌شود و هیچ تأثیری بر شایستگی ژنتیکی افراد نداشته باشد. در این شرایط مدت زمان طولانی تری خواهد داشت که در طی این زمان

واینبرگ^۶ ۱۰٪ عبور داده شد در کل ۹۸ زنوتیپ‌ها در جمعیت باقی ماند که از کل ۳۰۱۰۶ اسنیپ تعداد ۲۸۷۸۲ ندارد (۹). ارزیابی ساختار جامعه برای ۸ نژاد گاو با نمونه‌گیری از گونه‌های Bos indicus و Bos taurus با استفاده از پنل‌های SNP برای کل ژنوم، ۲۶۴۱ تفاوت تک نوکلوتیپی اتوژوومی در نژادهای مختلف زنوتیپ شد که ساختار جامعه با استفاده از مدل پیوستگی در برنامه STRUCTURE مورد بررسی قرار گرفت و از برآوردهای F_{ST} برای نمایان کردن رابطه بین این نژادها استفاده گردید (۲۱). مولسینگر و ویر (۱۶) در مطالعه‌ای مروری به بررسی تفاوت آماره‌های ژنتیکی در بین جوامع مختلف پرداختند. در این بررسی نشان داده شد که آماره F_{ST} دیدگاهی مهم در زمینه فرآیندهای تکاملی فراهم می‌آورد که ساختار تنوع ژنتیکی درون و در بین جوامع را تحت تاثیر قرار می‌دهد. کیجاز و همکاران (۱۷) به آنالیز تنوع و پراکنش ۷۴ نژاد مختلف گوسفند در سراسر جهان با استفاده از نشانگرهای متراکم SNP و یافتن نشانه‌های انتخاب پرداختند. آنها نشان دادند که نشانه‌های انتخاب قدرتمندی در پاسخ به انتخاب برای عدم شاخصاری مشاهده می‌شود. مخبر و همکاران (۱۹) در پویش ژنومی نشانه‌های انتخاب در گاومیش خوزستانی و ایرانی به وسیله آرایه ژنومیکی گاومیش ۹۰ k^۱ تعیین ژنوتیپ و از آماره نازاریب تتا و استفاده از آنالیز PCA^۲ جهت تفکیک جمعیت، بعد از انطباق مناطق ژنومی انتخاب شده با مناطق متناظر در گاو ۶۴ ژن و QTL^۳ شناسایی کردند. این QTL‌ها با صفات مهم اقتصادی، راندمان تبدیل غذایی، وزن بدن، چربی زیر پوستی، تیپ، تردی گوشت، ترکیبات شیر، اتصالات پستانی و گوساله‌زایی آسان ارتباط داشتند. جهت شناسایی ذخایر ژنتیکی گاوهای بومی کشور و تلاش برای حفظ منابع ژنتیکی ضروری است تا در قدم اول ساختار ژنتیکی دام‌ها شناسایی و اطلاعات حاصل برای مطالعات و تحقیقات بعدی مورد استفاده قرار گیرد. لذا هدف از این مطالعه پیدا کردن ردپای انتخاب در طول سالیان مختلف بر روی گاو سرایی و تالشی خالص است.

مواد و روش‌ها

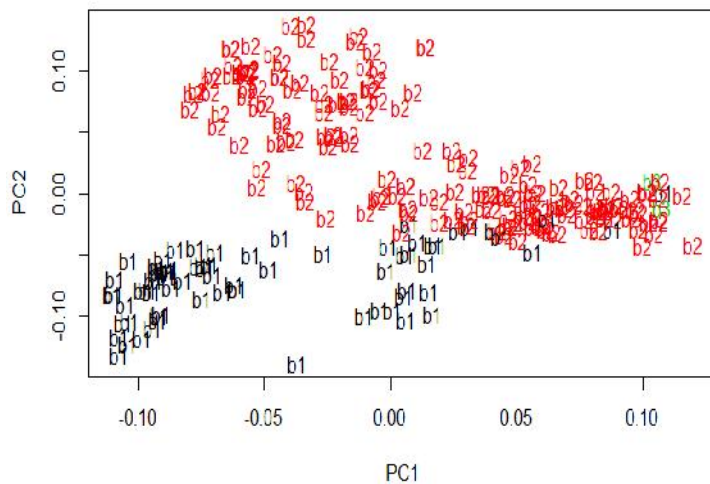
جمع‌آوری نمونه و استخراج DNA

در این مطالعه نمونه‌گیری از استان آذربایجان شرقی، شهر سراب، ایستگاه اصلاح نژادی گاو سرایی به تعداد ۲۱۱ راس گاو و استان گیلان، شهر فومن، ایستگاه اصلاح نژادی گاو تالشی به تعداد ۹۶ راس حیوان انجام گرفت. از تمام حیوانات صفات بیومتری اندازه‌گیری و سپس خون‌گیری به عمل آمد. در این مطالعه از روش فل و کلروفرم برای استخراج DNA استفاده شد. سپس برای تعیین کیفیت و کمیت نمونه‌ها از دو روش ژل آگاراز و نانو دراپ استفاده شد. نمونه‌های مورد مطالعه برای تعیین ژنوتیپ به شرکت geneseeek ارسال گشت که با استفاده از ریزآرایه ۴۰ k^۴ ژنوتیپ انجام شد. نمونه‌ها برای بررسی نشانه‌های انتخاب توسط نرم‌افزار plink (۲۱) از فیلترهای فراوانی آلی نادر با سطح ۰/۰۵، حداقل فراوانی آلی ۰/۰۱ و تعداد هاردی

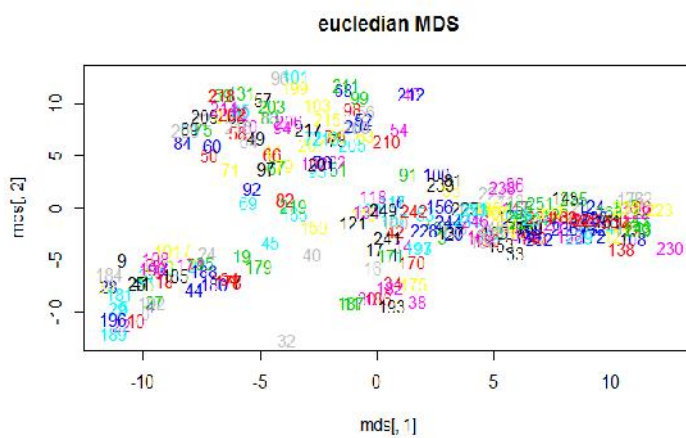
نتایج و بحث

تمایز ژنتیکی جمعیت

همان طور که در شکل‌های ۱ و ۲ دیده می‌شود دام‌ها به چهار دسته سرایی خالص، تالشی خالص و آمیخته این دو نژاد تقسیک شده‌اند. تعداد ۴۵ رأس گاو‌تالشی خالص، ۲۹ رأس گاو آمیخته تالشی × هلشتاین، ۵۵ رأس گاو سرایی خالص و ۱۲۴ رأس گاو آمیخته سرایی × هلشتاین گروه‌بندی شده و در ادامه نشانه‌های انتخاب برای گاوهای بومی سرایی خالص و تالشی خالص مورد بررسی قرار گرفت.



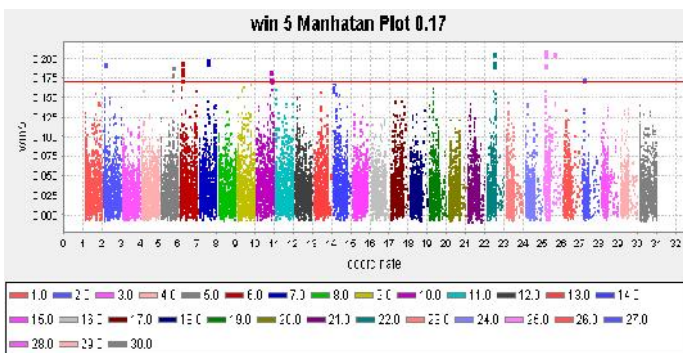
شکل ۱- آنالیز مولفه‌های اصلی برای نژاد سرابی و تالشی چهت تقسیک نژادها در نرم‌افزار R
Figure 1. Principal Component Analysis for Sarabi and Taleshi breed to classification breeds on R software



شکل ۲- آنالیز مولفه‌های اصلی برای نژاد سرابی و تالشی توسط نرم‌افزار R چهت مشخص نمودن شماره دام
Figure 2. Principal Component Analysis for Sarabi and Taleshi on R software to specify animal number

برای مشخص کردن این که کدام یک از SNP دارای بیشترین مقدار حاصل از محاسبه آماره تبا بوده و همچنین نحوه همراهی SNP های مجاور برای پیدا کردن کروموزم های تحت انتخاب در نرم‌افزار های پلوبویو انجام و انتخاب سخت گیرانه برای SNP های عبور کرده از حد آستانه اعمال گردید. گراف منهتن (شکل ۳) نشان داد کروموزم های (ستون های عمودی) ۲۵، ۲۲، ۱۰، ۷، ۶، ۵، ۲، ۲۷، تحت انتخاب بودند.

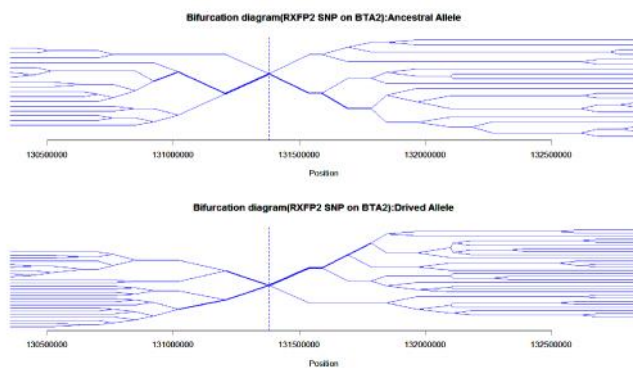
نژادها به دو دسته گاو سرابی (b1) و گاو تالشی (b2) تقسیک شدند (شکل ۱). در قسمت چپ شکل ۱ در قسمت انتهایی گاوها تالشی خالص (b1)، در قسمت چپ شکل ۱ در قسمت بالایی گاوها سرابی خالص و در قسمت میانه به سمت راست گاوها سرابی و تالشی آمیخته تقسیک گردیدند که در شکل ۲ برای مشخص کردن نام دامها و جداسازی از آمیخته‌ها دامها براساس شماره ترتیبی در فایل ژنتیکی برای انجام آنالیزهای بعدی مشخص شدند.
بررسی نشانه‌های انتخاب برای گاو تالشی خالص و گاو سرابی خالص



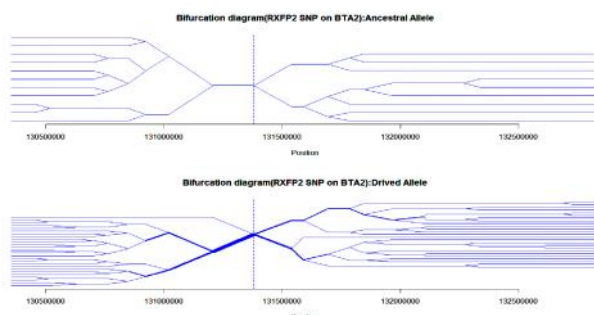
شکل ۳- گراف منهتن برای نشانه‌های انتخاب گاو سرابی و تالشی خالص
Figure 3. Manhattan graph for signature selection in pure Sarabi and Taleshi

بالای LD از چندین ژن کандیدا با استفاده از روش EHH مورد بررسی قراردادند. مشابه همین مطالعه در گاو توسط قبری و همکاران (۲۷) و پان و همکاران (۲۲) انجام شده است. آماره EHH شکستگی LD در اطراف منطقه ژنومی کандید انتخاب را با ارزیابی خصوصیات هاپلوتیپی در داخل یک جمعیت مورد بررسی قرار می‌دهد.

بررسی LD مناطق ژنومی انتخاب شده با استفاده از آماره EHH برای جمعیت تالشی و سرابی خالص جهت انجام آنالیز EHH نیاز به فازهای هاپلوتیپی هر کروموزم می‌باشد ابتدا کروموزم‌ها تفکیک و سپس در برنامه fastphase فازبندی هاپلوتیپی انجام و آنالیز EHH انجام شد. ثابتی و همکاران (۲۵) رد پایی ژنتیکی انتخاب مثبت اخیر در انسان‌ها را توسط آنالیز هاپلوتیپ‌ها با طول



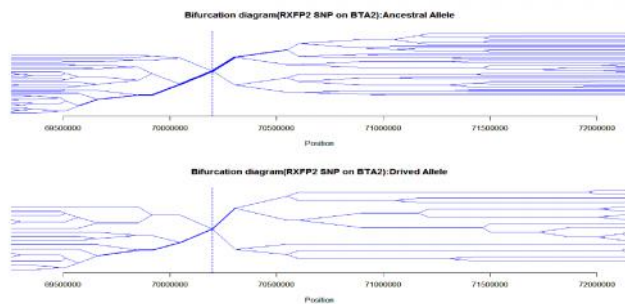
شکل ۴- شکستگی LD برای آل اجدادی و جهش یافته در کروموزم ۲ برای گاو تالشی
Figure 4. LD degradation for ancestral and derived allele at chromosome 2 for Taleshi cow



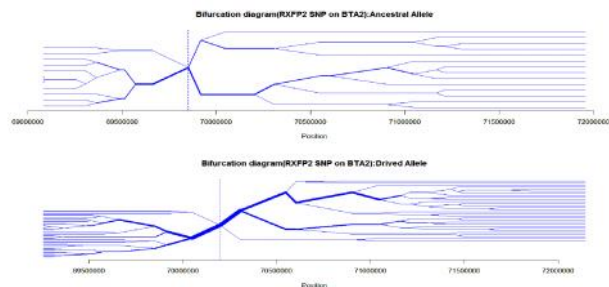
شکل ۵- شکستگی LD برای آل اجدادی و جهش یافته در کروموزم ۲ برای گاو سرابی
Figure 5. LD degradation for ancestral and derived allele at chromosome 2 for Sarabi cow

T جهش پیدا کرد همان‌طور که در شکل ۴ و ۵ نتایج حاصل از امارة EHH مشاهده می‌گردد شکستگی LD در این دو نژاد نسبتاً مانند هم بوده و نشان می‌دهد برای هر دو نژاد انتخاب برای آلل T صورت گرفته است.

تفاوت انتخاب در کروموزم ۲ در هر دو نژاد به نفع آلل جهش یافته بود. فراوانی آللی جهش یافته در گاو سرابی برابر ۰/۹۹۱ و فراوانی آللی جهش یافته برای گاو تالشی برابر ۰/۷۳ و فراوانی آللی اجدای در کروموزم ۲ برابر ۰/۸۹ و آلل C به



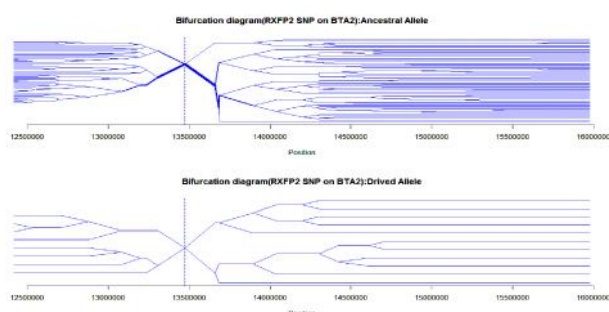
شکل ۶- شکستگی LD برای آلل اجدادی و جهش یافته در کروموزم ۵ برای نژاد تالشی
Figure 6. LD breakage for ancestral and mutant allele on chromosome 5 for Taleshi breed



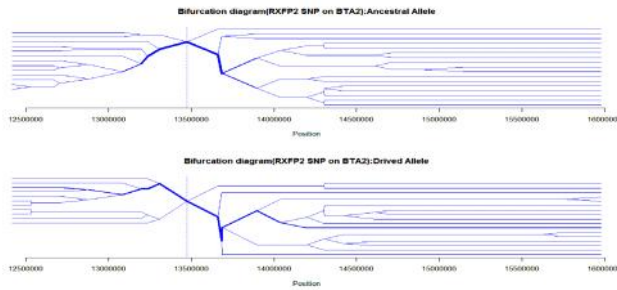
شکل ۷- شکستگی LD برای آلل اجدادی و جهش یافته در کروموزم ۵ برای نژاد سرابی
Figure 7. LD breakage for ancestral and mutant allele on chromosome 5 for Sarabi breed

است که نشان‌دهنده انتخاب برای آلل A می‌باشد. در شکل ۷ شکستگی LD برای آلل جهش یافته بیشتر از آلل اجدادی بود. شکل ۷ نشان دهنده انتخاب برای آلل G در نژاد سرابی اجدای G به A تبدیل شده است. در شکل ۶ شکستگی LD در نژاد تالشی برای آلل اجدادی بیشتر از آلل جهش یافته

تفاوت انتخاب در کروموزم ۵ در نژاد تالشی به نفع آلل اجدادی با فراوانی برابر ۰/۶۴ و در نژاد سرابی تفاوت انتخاب به نفع آلل جهش یافته با فراوانی برابر ۰/۹۹ می‌باشد. آلل اجدادی G به A تبدیل شده است. در شکل ۶ شکستگی LD در نژاد تالشی برای آلل اجدادی بیشتر از آلل جهش یافته



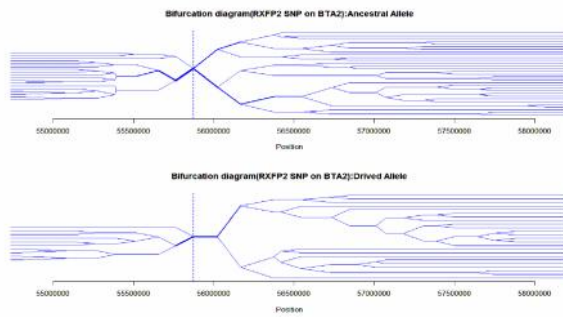
شکل ۸- شکستگی LD برای آلل اجدادی و جهش یافته در کروموزم ۶ برای نژاد تالشی
Figure 8. LD breakage for ancestral and mutant allele on chromosome 6 for Taleshi breed



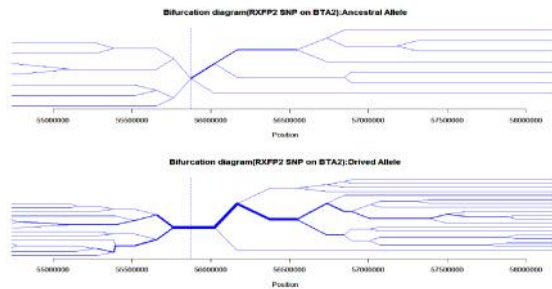
شکل ۹- شکستگی LD برای آلل اجدادی و جهش یافته در کروموزم ۶ برای نژاد سرابی
Figure 9. LD brekage for ancestral and mutant allele on chromosome 6 for Sarabi breed

است. شکستگی LD در شکل ۸ و ۹ نشان‌دهنده انتخاب بالا برای این جایگاه در این دو نژاد از دام مورد مطالعه به نفع آلل G می‌باشد.

تفاوت انتخاب در کروموزم ۶ در هر دو نژاد گاو تالشی و سرابی به نفع آلل اجدادی می‌باشد. فراوانی آللی اجدادی در گاو تالشی برابر ۴۸٪ و در گاو سرابی برابر ۵۳٪ می‌باشد. در اثر انتخاب صورت گرفته آلل اجدادی G به A جهش یافته



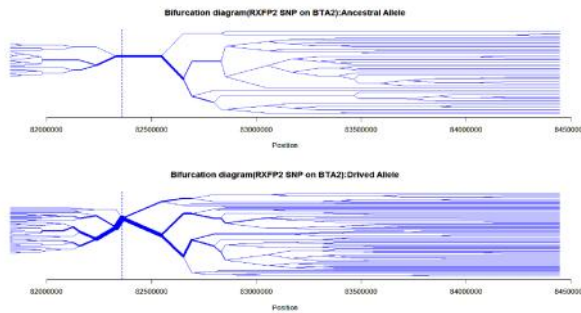
شکل ۱۰- شکستگی LD برای آلل اجدادی و جهش یافته در کروموزم ۷ برای نژاد تالشی
Figure 10. LD brekage for ancestral and mutant allele on chromosome 7 for Taleshi breed



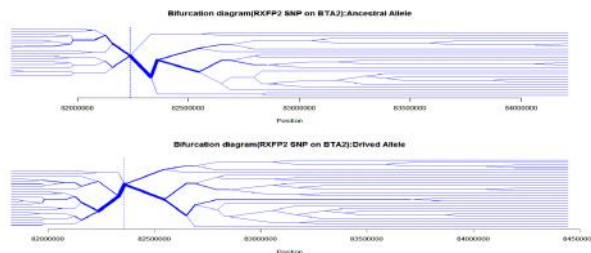
شکل ۱۱- شکستگی LD برای آلل اجدادی و جهش یافته در کروموزم ۷ برای نژاد سرابی
Figure 11. LD brekage for ancestral and mutant allele on chromosome 7 for Sarabi breed

که در گاو تالشی انتخاب برای آلل A و در گاو سرابی انتخاب برای آلل G صورت گرفته است. شکستگی LD در شکل ۱۰ برای آلل اجدادی بالا بوده و در شکل ۱۱ شکستگی برای آلل جهش یافته بالا می‌باشد.

تفاوت انتخاب برای کروموزم ۷ در نژاد تالشی به نفع آلل اجدادی با فراوانی برابر ۶۴٪ می‌باشد. در گاو سرابی تفاوت انتخاب به نفع آلل جهش یافته بوده که فراوانی آن برابر ۲۸٪ است. در این مطالعه آلل اجدادی A به G جهش یافته است



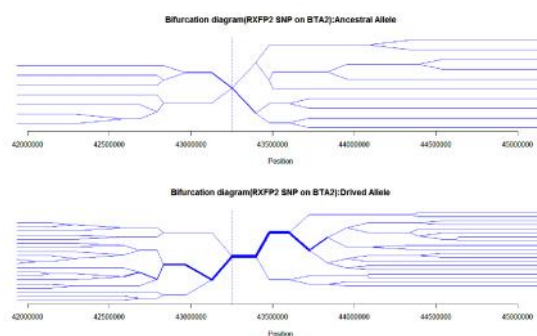
شکل ۱۲- شکستگی LD برای آلل اجدادی و جهش یافته در کروموزم ۱۰ برای نژاد تالشی
Figure 12. LD breakage for ancestral and mutant allele on chromosome 10 for Taleshi breed



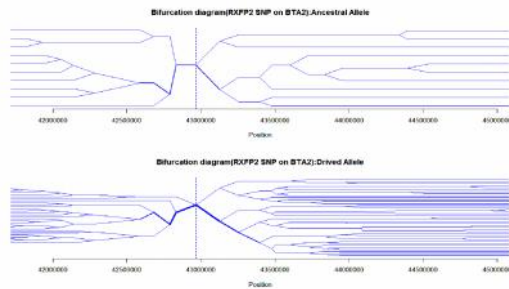
شکل ۱۳- شکستگی LD برای آلل اجدادی و جهش یافته در کروموزم ۱۰ برای نژاد سرابی
Figure 13. LD breakage for ancestral and mutant allele on chromosome 10 for Sarabi breed

تفاوت انتخاب برای کروموزم ۱۰ می‌باشد. آلل اجدادی T به C جهش یافته است. شکستگی LD برای هر دو نژاد در آلل جهش یافته زیادتر از آلل اجدادی می‌باشد و نشان‌دهنده انتخاب برای آلل C برای هر دو نژاد می‌باشد.

تفاوت انتخاب برای کروموزم ۱۰ در شکل‌های ۱۲ و ۱۳ نشان می‌دهد که تفاوت انتخاب در نژاد تالشی به نفع آلل جهش یافته بوده و فراوانی آن برابر ۷۲/۰ می‌باشد. در گاو سرابی تفاوت انتخاب به نفع آلل جهش یافته و با فراوانی



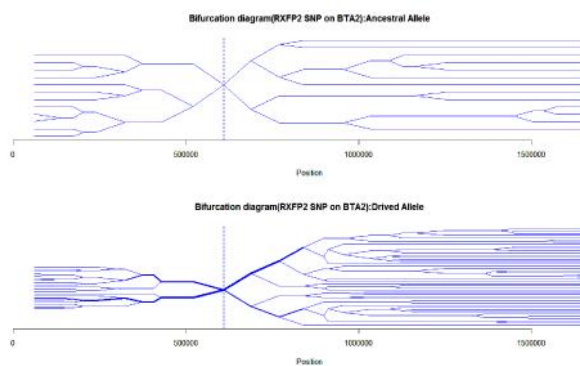
شکل ۱۴- شکستگی LD برای آلل اجدادی و جهش یافته در کروموزم ۲۲ برای نژاد سرابی
Figure 14. LD breakage for ancestral and mutant allele on chromosome 22 for Sarabi breed



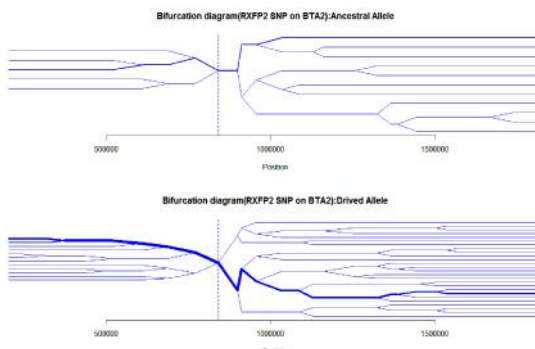
شکل ۱۵- شکستگی LD برای آلل اجدادی و جهش یافته در کروموزم ۲۲ برای نژاد تالشی
Figure 15. LD breakage for ancestral and mutant allele on chromosome 22 for Taleshi breed

یافته بیشتر است که انتخاب برای باز T را نشان می‌دهد. شکستگی LD (شکل ۱۵) در نژاد تالشی به نفع آلل اجدادی است که نشان‌دهنده انتخاب آلل C برای جمعیت تالشی است در کروموزم ۲۲ آلل اجدادی C به T جهش یافته است.

تفاوت انتخاب برای کروموزم ۲۲ در نژاد سرابی به نفع آلل جهش یافته که فراوانی آن برابر با ۶۰/۶۰ بود. اما در نژاد تالشی تفاوت انتخاب به نفع آلل اجدادی با فراوانی ۷۰/۷۰ بود. شکستگی LD شکل ۱۴ در نژاد سرابی برای آلل جهش



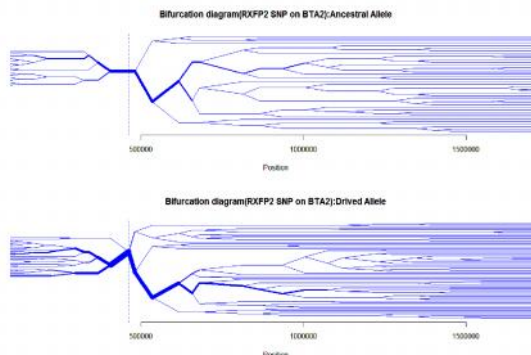
شکل ۱۶- شکستگی LD برای آلل اجدادی و جهش یافته در کروموزم ۲۵ برای نژاد تالشی
Figure 16. LD breakage for ancestral and mutant allele on chromosome 25 for Taleshi breed



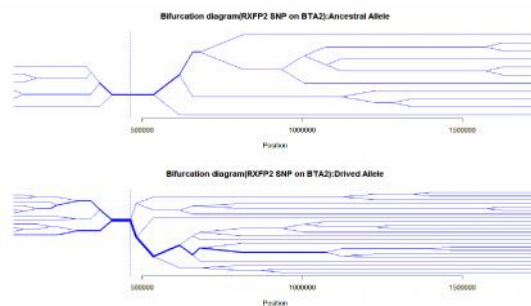
شکل ۱۷- شکستگی LD برای آلل اجدادی و جهش یافته در کروموزم ۲۵ برای نژاد سرابی
Figure 17. LD breakage for ancestral and mutant allele on chromosome 25 for Sarabi breed

کروموزم در این نژاد است. شکستگی LD در شکل ۱۶ برای گاو تالشی نشان‌دهنده انتخاب برای آلل اجدادی است. شکل ۱۷ نشان‌دهنده شکستگی LD برای هر دو آلل است و به نظر می‌رسد این شکستگی برای آلل جهش یافته بیشتر باشد.

تفاوت انتخاب در کروموزم ۲۵ در نژاد تالشی به نفع آلل جهش یافته می‌باشد. فراوانی آلل جهش یافته برای ۹۴/۰ بود و در این نژاد آلل اجدادی A به G جهش یافته است. تفاوت انتخاب در نژاد سرابی به نفع آلل جهش یافته با فراوانی ۹۸/۰ می‌باشد که نشان‌دهنده انتخاب آلل G برای این منطقه از



شکل ۱۸- شکستگی LD برای آلل اجدادی و جهش یافته در کروموزم ۲۷ در نژاد تالشی
Figure 18. LD breakage for ancestral and mutant allele on chromosome 27 for Taleshi breed



شکل ۱۹- شکستگی LD برای آلل اجدادی و جهش یافته در کروموزم ۲۷ در نژاد سرابی
Figure 19. LD breakage for ancestral and mutant allele on chromosome 27 for Sarabi breed

همکاران (۱۰) در مطالعه بیان ژن غدد پستانی روی دو دسته گاوها پرتوولید و کم تولید هلشتین با چربی و پروتئین شیر زیاد و کم و با میزان بیان RNA درغدد پستانی ژن‌های تاثیر گذار از جمله EIF4G₃ شناسایی که این ژن با شبکه ژنی از جمله TRIB3، C4BPA، HEATR7B2، SAA3، BMX، SLC25 A38، HSPD1، CHAC1، SESN2، OKRT2، VEGFA، CDH16، RPL23A، ATF3، ZC3H14، PTHLH، ARID1B، CDKN1A، EIF4G3 FCAMR DNER، HIST1H2AC، M-SAA32، DDT3 و P4HA2 در ارتباط می‌باشد. در کروموزم ۵ با موقعیت ۷۰۱۹۹۷۴۳-۷۰۱۹۹۴۳ ژنی در روی ژنوم گاو گزارش نشده است. در کروموزم ۶ در موقعیت ۱۳۴۷۵۶۱۲ (۳۳۴۷۵۴۱۲-۱۳۴۷۵۶۱۲) ENSBTAG0000002392 ژن با شماره شناسایی ANK2 NCBI شناسایی شد که نام دیگر این ژن در پایگاه ANK2 شناسایی نداشت. در این ژن کنده پروتئین است. آنکارین‌ها می‌باشد که از نوع ژن‌های کد کننده پروتئین است. آنکارین‌ها پروتئین‌های ساختاری برای تشکیل ساختار بنیادی سیتو اسلکتون و از خانواده پروتئین‌هایی که اتصال پروتئین‌های غشایی جدایی ناپذیر به سایتو اسلکتون اکتنین-اسپکترین تھاتانی هستند که در عضله، شبکه بسیار پیچیده از ارتباطات بین تارچه و همچنین ارتباط بین تارچه و سارکوسما شبکه سارکوبلاسمی را تشکیل می‌دهد (۳۲،۲۰،۱۲). در انسان سه ژن آنکارین، ANK₁، ANK₂، ANK₃، ANK₄ پلی پوتیدهایی را رمز می‌کنند که آنکارین R، آنکارین B و آنکارین G نامیده می‌شود. آنکارین B و G در بیشتر بافت‌ها بیان می‌شوند در

تفاوت انتخاب در کروموزم ۲۷ در گاو تالشی به نفع آلل جهش یافته می‌باشد. فراوانی آلل جهش یافته برابر ۰/۸ و آلل اجدادی G به A جهش یافته است. تفاوت انتخاب در گاو سرابی به نفع آلل جهش یافته می‌باشد. فراوانی آلل جهش یافته برابر با ۰/۸ است که نشان‌دهنده انتخاب به نفع آلل G برای هر دو نژاد بوده است همان‌طور که در شکل‌های ۱۸ و ۱۹ مشاهده می‌شود شکستگی LD برای هر دو نژاد برای آلل اجدادی بالا است و نشان می‌دهد که این منطقه تحت تاثیر انتخاب بالا قرار گرفته است. نتایج بررسی LD نشانه انتخاب وقتی از آنالیز تفکیک جمعیتی استفاده نمی‌شود و بعد از آنالیز جهت بررسی خرد ساختارهای جمعیت متفاوت است چرا که قبل از تفکیک جمعیت کروموزم‌های ۱، ۱۱، ۲۶، ۴، ۱۳، ۱، ۱۰، ۶، ۷، ۲۵، ۱۰، ۵، ۲، ۲۷، ۱۳۲۱۸۴۹۹-۱۳۲۱۸۳۹۹ (Gene 87) در موقعیت ۱۳۴۱۰۰-۱۳۴۱۸۴۱۰۰ ژن EIF4G₃ شناسایی شد. ژن EIF4G₃ در انتقال RNA به سیتو پلاسم نقش اساسی در بیان ژن دارد. کویی و در جمعیت گاو تالشی و سرابی در جمعیت کروموزم ۲ با استفاده از پایگاه اطلاعاتی BIOMART ENSEMBLE (Ensemble) با استفاده از Gene 87) در موقعیت ۱۳۴۱۰۰-۱۳۴۱۸۴۹۹ (ژن EIF4G₃) هسته به سیتو پلاسم نقش اساسی در بیان ژن دارد.

است. دو پروتئین D114 و اکتیوین II به عنوان گیرنده‌ها در مسیر این سیگنال می‌باشند و مسئول آشکارسازی وظایف می‌باشد. و همچنین طبق آزمایش آدام و همکاران (۱) SYNJ2BP برشکاف (gap) اکتیوین اثر داشت. بیان این ژن باعث فسفر یلاسیون پروتئین اکتیوین، SMAD2 و SMAD3 شده که درنهایت با این کار، SYNJ2BP میگنالینگ اکتیوین را متوقف می‌نماید. در کروموزم ۲۲ و در موقعیت ۴۳۲۵۲۱۱۸ - ۴۳۲۵۴۹۱۸ FAM3D که در کد کردن پروتئین نقش دارد شناسایی شد. ژن FAM3D در مسیر بیوشیمیایی تنظیم سیتو اسکلتون اکتین فعالیت دارد. خانواده شبه سیتوکین می‌باشند که FAM3B به شدت در پانکراس FAM3D در جفت و FAM3C .FAM3A تقریباً در تمام بافت‌ها بیان می‌شوند. سیتوکین‌ها اثرات عمیقی بر عملکردهای بیولوژیکی متعدد مانند مهاجرت و عملکرد لکوسیت، تمایز خونسازی، تنظیم درجه حرارت، پاسخ‌های فاز خاد و بقای سلول دارند.

نتایج به دست آمده از این تحقیق نشان داد ژن‌های شناسایی شده در مناطق مورد انتخاب در ارتباط با ماندگاری، تولید ترکیبات شیر، مکانیسم اینمی در بیماری‌های مالاریا، پریون، بویایی، بینایی، سیستم عصبی مرکزی، ژن‌های سرکوب‌گر تومور و رنگ پوست نقش دارند. تثبیت آلل‌های مفید گواهی بر انتخاب اخیر مثبت در جمعیت گاو‌سرابی و تالشی می‌باشد و همچنین بررسی ژن‌های تحت انتخاب در دو تژاد نشان داد انتخاب خشی بیشتر در جهت ماندگاری دام‌های مورد مطالعه در محیط در حال رخ دادن می‌باشد.

حالی که آنکرین R یک الگو بیان محدود را نمایش می‌دهد. اسکاتلنده و همکاران (۲۷) گزارش کردند که در موش‌های فاقد آنکرین B بطور آشکار نقص قابل توجهی در سیستم عصبی مرکزی از جمله انحطاط دستگاه اکسون بلند دارند و روز بعد زایمان می‌میرند. آنکرین B نقش مهمی برای عملکرد فیزیولوژی طبیعی عروق قلبی دارد کاهش بیان ژن آنکرین و جهش به طور بالقوه باعث آرتیتی‌های قلبی کشنده می‌شوند. مطالعات کانها و همکاران (۹) نشان داد که ژن آنکرین با صفات کیفی گوشت و به ویژه چربی عضلانی و تردی گوشت در ارتباط می‌باشد. در کروموزم ۷ در موقعیت (۵۵۸۷۹۶۵) با اسمبل umd3.1 ژن GRAF شناسایی شد که به عنوان یک ژن کد کننده پروتئین که نام پروتئین آن ۲ که سرکوبگر تومور هست که متصل با آدیژن کنیاز مرکزی هست (۲۸). پروتئین این ژن در بافت‌های مختلف بیان می‌شود (۷). حذف ژن GARF در برخی موارد موجب کم خونی میلوئید حاد (AML) و کم خونی میلوئید مزمن (CML) می‌شود. در موقعیت ۸۲۳۶۰۴۴۸ - ۸۲۳۶۰۵۴۸ پروتئین SYNJ2BP از نوع ژن کد کننده پروتئین شناسایی شد. برای این ژن در پایگاه اطلاعاتی KeGG مسیر بیوشیمیایی مشاهده شد. این ژن پروتئین باند کننده سیناپتوژنین ۲ را کد می‌کند آنزیمو جنسیز وابسته به چندین مراحل سلولی شامل مهاجرت سلول‌های اندو قلیایی، تکثیر و چسبندگی می‌باشد. آنژو جنسیز با اثر منفی رو مپ کنیاز سیگنالیگ باعث کاهش فسفر یلاسیون ERK پروتئین‌ها می‌شود (SYNJ2BP) هم به صورت این ویترو و این ویو فعالیت دارد و وظیفه آن اجرای آنزیمو جنسیز

منابع

- Adam. M.G., C. Berger, A. Feldner, W.J. Yang, J. Wüstehube-Lausch, S.E. Herberich, M. Pinder, S. Gesierich, H.P. Hammes, H.G. Augustin, and A. Fischer. 2013. Synaptosomal-2 Binding Protein Stabilizes the Notch Ligands DLL1 and DLL4 and Inhibits Sprouting Angiogenesis Novelty and Significance. Circulation research, 113: 1206-1218.
- Aminafshar, M., C. Amirinia and R. Vaez-Torshizi. 2008. Genetic diversity in buffalo population of Guilan using microsatellite markers. Journal Animal and Veterinary Advance, 7: 1499-1515.
- Andersson, L. and M. Georges. 2004. Domestic-animal genomics: deciphering the genetics of complex traits. Nature Reviews Genetics, 5: 202-212.
- Ardlie, K.G., L. Kruglyak and M. Seielstad. 2002. Patterns of linkage disequilibrium in the human genome. Nature Reviews Genetics, 3: 299-309.
- Barrett, J.C., B. Frv, J.D.M.J. Maller and M.I. Dalv. 2005. Haploview: analysis and visualization of LD and haplotype maps. Bioinformatics, 21: 263-265.
- Browning, B. L. 2014. Homepage of software: BEAGLE v.4, URL <http://faculty.washington.edu/browning/beagle/beagle.html>.
- Borkhardt, A., S. Bojesen, O.A. Haas, U. Fuchs, D. Bartelheimer, I.F. Loncarevic, R.M. Bohle, J. Harbott, R.U. ReppJaeger and S. Viehmann. 2000. The human GRAF gene is fused to MLL in a unique t (5; 11) (q31; q23) and both alleles are disrupted in three cases of myelodysplastic syndrome/acute myeloid leukemia with a deletion 5q. Proceedings of the National Academy of Sciences, 97: 9168-9173.
- Brian, L. and B. Rowning. 2011. BEAGLE 3.3.2. Department of Medicine, Division of Medical Genetics, University of Washington.
- Cunha, S.R., S. Le Scouarnec, J.J. Schott and P.J. Mohler. 2008. Exon organization and novel alternative splicing of the human ANK2 gene: implications for cardiac function and human cardiac disease. Journal of molecular and cellular cardiology, 45: 724-734.
- Cui, X., Y. Hou, S. Yang, Y. Xie, S. Zhang, Y. Zhang, Q. Zhang, X. Lu, G.E. Liu and D. Sun. 2014. Transcriptional profiling of mammary gland in Holstein cows with extremely different milk protein and fat percentage using RNA sequencing. BMC genomics, 15: 1.

11. Fan, B., Z. Du, D.M. Gorbach and F. RM. 2010. Development and Application of High-density SNP Arrays in Genomic Studies of Domestic Animals. *Asian-Australia journal Animal Science*, 2: 833-847.
12. Gagelin, C., B. Constantin, C. Deprette, M.A. Ludosky, M. Recouvreur, J. Cartaud, C. Cognard, G. Raymond and E. Kordeli. 2002. Identification of AnkG107, a muscle-specific ankyrin-G isoform. *Journal of Biological Chemistry*, 277: 12978-12987.
13. Giacomoni, E.H., G.P. Fernandez-Stoltz and T.R.O. Freitas. 2008. Genetic diversity in the Pantaneiro horse breed assessed using microsatellite DNA markers. *Genetic Molecular Research*, 7: 261-270.
14. Gautier, M. and R. Vitalis. 2012. Rehh: An R package to detect footprints of selection in genome-wide SNP data from haplotype structure. *Bioinformatics*, 28: 1176-1177.
15. Gross, A., A. Tönjes, P. Kovacs, Peter Kovacs, Krishna R Veeramah, Peter Ahnert, Nab R Roshyara, Christian Gieger, Ina-Maria Rueckert, John Novembre, Michael Stumvoll, Markus Scholz. 2011. Population-genetic comparisons of the Sorbian isolate population in Germany with the German KORA population using genome-wide SNP arrays. *BMC Genetics*, 12: 67-72.
16. Holsinger, K.E. and B.S. Weir. 2009. Genetics in geographically structured populations: defining, estimating and interpreting FST. *Nature reviews Genetics*, 10: 639-650.
17. Kijas, J.W., J.A. Lenstra, B. Hayes, Simon Boitard, Laercio R. Porto Neto, Magali San Cristobal, Bertrand Servin, Russell McCulloch, Vicki Whan, Kimberly Gietzen, Samuel Paiva, William Barendse, Elena Ciani, Herman Raadsma, John McEwan, Brian Dalrymple, other members of the International Sheep Genomics Consortium. 2012. Genome-Wide Analysis of the World's Sheep Breeds Reveals High Levels of Historic Mixture and Strong Recent Selection. *PLoS Biologics*, 10: 12-58.
18. McKav, S.D., R.D. Schnabel, B.M. Murdoch, I.K. Matukumalli, J. Aerts, W. Connpieters, D. Crews, F.D. Neto, C.A. Gill, C. Gao and H. Mannen. 2008. An assessment of population structure in eight breeds of cattle using a whole genome SNP panel. *Bmc Genetics*, 9: 37-42.
19. Mokhber, M., M. Moradi Shahrebabak, M. Sadeghi, H. Moradi Shahrebabak and G. Williams. 2015. Genomics explore of selection signature in buffalo signs of Khuzestan and Mazandaran. *Journal of Iran Animal Science*, 46: 119-131 (In Persian).
20. Nelson, W.J. and E. Lazarides. 1984. Goblin (ankyrin) in striated muscle: identification of the potential membrane receptor for erythroid spectrin in muscle cells. *Proceedings of the National Academy of Sciences*, 81: 3292-3296.
21. Nei, M. 1973. Analysis of Gene Diversity in Subdivided Populations, *Proc. Nature. Academic. Science*, 70: 3321-3323.
22. Pan, D., S. Zhang, J. Jiang, L. Jiang, Q. Zhang and J. Liu. 2013. Genome-wide detection of selective signature in Chinese Holstein. *PLoS ONE*. ;8:e60440. doi: 10.1371/journal.pone, 40-44.
23. Porter, N.C., W.G. Resneck, A. O'Neill, D.B. Van Rossum, M.R. Stone and R.J. Bloch. 2005. Association of small ankyrin 1 with the sarcoplasmic reticulum. *Molecular membrane biology*, 22: 421-432.
24. Pritchard, J.K. and M. Przeworski. 2001. Linkage disequilibrium in humans: models and data. *American Journal of Human genetics*, 69: 1-14.
25. Purcell, S., B. Neale, K. Todd-Brown, L. Thomas, M.A.R. Ferreira, D. Bender, J. Maller, P. Sklar, P.I.W. de Bakker, M.J. Daly and P.C. Sham. 2007 PLINK: a toolset for whole-genome association and population-based linkage analysis. *American Journal of Human Genetics*, 81: 559-575.
26. Price, A.L., N.J. Patterson, R.M. Plenge, M.E. Weinblatt, N.A. Shadick and D. Reich. 2006. Principal components analysis corrects for stratification in genome-wide association studies. *Nature Genetics*, 38: 904-909.
27. Qanbari, S., J. Pimentel ECG, G. Tetens, P. Thaller Lichtner and AR. Sharifi. 2010. A genome-wide scan for signatures of recent selection in Holstein cattle. *Animal Genetics*, 41: 377-89.
28. Qian, Z., J. Qian, J. Lin, D.M. Yao, Q. Chen, R.B. Ji, Y. Li, G.F. Xiao and J.Y. Li. 2010. GTPase regulator associated with the focal adhesion kinase (GRAF) transcript was down-regulated in patients with myeloid malignancies. *Journal of Experimental & Clinical Cancer Research*, 29: 1pp.
29. Sabeti, P.C., D.E. Reich, J.M. Higgins, H.Z.P. Levine, D.J. Richter, S.F. Schaffner, S.B. Gabriel, J.V. Platko, N.J. Patterson and G.J. McDonald. 2002. Detecting recent positive selection in the human genome from Haplotype structure. *Nature*. 419: 832-837.
30. Scheet, P. and M. Stethens. 2006. A fast and flexible statistical model for large-scale population genotyve data: applications to inferring missing genotypes and haplotypic phase. *The American Journal of Human Genetics*, 78: 629-644.
31. Scotland, P., D. Zhou, H. Benveniste and V. Bennett. 1998. Nervous system defects of AnkyrinB (-/-) mice suggest functional overlap between the cell adhesion molecule L1 and 440-kD AnkyrinB in premyelinated axons. *The Journal of cell biology*, 143: 1305-1315.
32. Tuvia, S., M. Buhusi, L. Davis, M. Reedy and V. Bennett. 1999. Ankyrin-B is required for intracellular sorting of structurally diverse Ca2+ homeostasis proteins. *The Journal of cell biology*, 147: 995-1008.
33. Weir, B.S. and C.C. Cockerham. 1984. Estimating F-statistics for the analysis of population structure. *International Journal of Evolutionary Biology*, 38: 1358-1370.

Genome-Wide Scan for Selection Signatures in Iranian Sarabi and Taleshi Indigenous Breed

Seyed Makan Mosavi Kashani¹, Ghodrat Rahimi Mianji² and
Hossein Moradi Shahrbabak^{*}

1 and 2- Ph.D. Student Professor, Department of Animal Science, Sari Agricultural Science and Natural Resources University

3- Assistant Professor, Department of Animal Science, University of Tehran
(Corresponding author: hmoradis@ut.ac.ir)

Received: January 17, 2017

Accepted: May 7, 2017

Abstract

The aim of this study was to find the footprint of selection in native Sarabi and Taleshi cattle breeds 296 cattle from two breeds were sampled and genotyped. by 40 k microarray of illumine company. 43 animals were removed because their ACR was below 0.09. Markers were filtered with minor allele frequency (MAF) equal 0.01 and Hardy-Weinberg equilibrium test (10^{-6}). After filtering, 28782 markers remained. To study the genetic structure of population and sub-population principal component analysis (PCA) was used. To identify selective signals for Sarabi and Taleshi pure population theta parameter was calculated. To reduce error theta values was averaged with near marker and Manhattans graph were obtained by haplovie software. Chromosomes 2, 5, 6, 7, 10, 22, 25 and 27 had selection signatures. To searching for selection signatures in both population, extended haplotype homozygosity statistics (EHH) was calculated using R software. In addition, for each chromosome LD erosion rate for ancestral and mutant alleles were calculated. To study of positions that showed signature selection, bioinformatics web site were searched. EIF4G3 gene was identified on chromosome 2. This gene have fundamental role in transferring RNA from nucleus to the cytoplasm and gene expression. ANK2 gene was identified on chromosome 6 which encodes polypeptide ankirin B expressed in all tissues. On chromosome 7 the gene ARHGAP26 was found which is a tumor suppressor genes. On chromosome 10, a gene identified that encodes protein SYNJ2BP that suppress activing protein. On chromosome 22, FAM3D protein coding gene detected that plays a role in cyto sckeleton actin biochemical pathway. This gene is expressed in the placenta and plays a role in biological functions such as migration and function of leukocyte, temperature regulation, cell survival and hematopoiesis differentiation.

Keywords: Extended Haplotype Homozygosity, Principal Component Analysis, Selection Signature, Statistics Theta